



## بررسی تأثیر جهت چرخش توربین برای دو توربین باد پشت سرهم به روش شبیه‌سازی گردابه‌های بزرگ

امین الله ویسی<sup>۱</sup>, محمد حسین شفیعی میام<sup>۲\*</sup>

۱- دانشجوی دکتری، مهندسی مکانیک، دانشگاه سیستان و بلوچستان، زاهدان

۲- استادیار، مهندسی مکانیک، دانشگاه بزرگمهر قائنات، قائن

\*قائن، کد پستی shafiei@buqaen.ac.ir, ۰۹۷۶۱۹۸۶۸۴۴

### چکیده

در این مطالعه از روش شبیه‌سازی گردابه‌های بزرگ به منظور بررسی اثرات جهت چرخش توربین باد پایین دست در دو پیکربندی جهت چرخش موافق و جهت چرخش مخالف استفاده شده است. نتایج به دست آمده با تابع تحریبی گزارش شده در کارهای گذشته تطابق خوبی دارد. پیکربندی جهت چرخش مخالف به منظور بررسی اثر آن بر بازدهی توربین باد پایین دست استفاده شده است. نتایج نشان می‌دهد بازدهی توربین باد پایین دست در پیکربندی جهت چرخش مخالف بدون هیچ تغییری در نوع توربین باد و آرایش مزرعه بادی حدود ۴ درصد افزایش می‌یابد. توربین باد بالا دست مقادیری از انرژی باد را دریافت می‌کند. از این رو سرعت در راستای جریان کاهش و در راستاهای جانبی افزایش می‌یابد. جهت چرخش جریان در پشت توربین باد بالا دست موافق جهت چرخش توربین باد پایین دست در پیکربندی جهت چرخش مخالف می‌باشد. این موضوع دلیل افزایش بازدهی توربین باد پایین دست در یک پیکربندی جهت چرخش مخالف است. نتایج مطالعه حاضر نشان می‌دهد پروفیل سرعت در راستای جریان در ناحیه دنباله برای هر دو پیکربندی جهت چرخش موافق و جهت چرخش مخالف تقریباً یکسان است، در حالی که سرعت جانبی تغییرات زیادی دارد. به عبارت دیگر بازدهی بهتر مزرعه بادی می‌تواند به خاطر سرعت جانبی باشد. از این رو با کاهش فاصله بین دو توربین باد در پیکربندی جهت چرخش مخالف بازدهی توربین باد پایین دست افزایش می‌یابد.

### اطلاعات مقاله

مقاله پژوهشی کامل	1395
دریافت: ۲۳ شهریور	۱۳۹۵
پذیرش: ۱۲ آبان	۱۳۹۵
ارائه در سایت: ۲۸ اذر	۱۳۹۵
کلید واژگان:	
توربین باد	
شبیه سازی گردابه‌های بزرگ	
جریان آشفته	
مدل زیر شبکه اسماگورینسکی	

## Investigation of blade rotation direction in two in line turbines using large eddy simulation

Amin Allah Veisi<sup>1</sup>, Mohammad Hossein Shafiei Mayam<sup>2\*</sup>

۱- Department of Mechanical Engineering, Sistan and Baluchestan University, Zahedan, Iran

۲- Department of Mechanical Engineering, Bozorgmehr-University of Qaenat, Qaen, Iran

\* P.O.B. ۰۹۷۶۱۹۸۶۸۴۴ Qaen, Iran, shafiei@buqaen.ac.ir

### ARTICLE INFORMATION

Original Research Paper  
Received 13 September 2016  
Accepted 02 November 2016  
Available Online 18 December 2016

Keywords:  
Wind turbine  
large eddy simulation  
turbulence flow  
Smagorinsky subgrid-scale model

### ABSTRACT

In this study Large Eddy Simulation method has been employed in order to investigate the effects of blade rotation direction of the downstream turbine in two co-rotating and counter-rotating configurations. The acquired results are in good agreement with presenting experimental data in literatures. Counter-rotating configuration is used in order to investigate the effect of blade rotation on the efficiency of downstream wind turbine. The results show that the efficiency of downstream wind turbine has increased about 4 percent without any change in wind farm layout and type of wind turbines. The upstream wind turbine absorbed a portion of wind energy. Hence the streamwise velocity is decreased and lateral velocities are increased in downstream direction. The flow behind the upstream turbine is rotated in the same direction with downstream turbine in a counter-rotating configuration. This is why the efficiency of downstream turbine is increased in a counter-rotating configuration. The results of the present study show that streamwise velocity profile is almost identical in both configurations, while lateral velocities are changed considerably. In other words, the better efficiency of wind farm could be due to the lateral velocities. Hence, the efficiency of wind farm could be increased by decreasing the distance between two consecutive wind turbines in a counter-rotating configuration.

انرژی‌های تجدیدپذیر انرژی باد از اهمیت ویژه‌ای برخوردار است. این نوع از انرژی آلدگی زیست محیطی ندارد و به طور گسترده در سرتاسر جهان توزیع شده است [۱]. طرفیت انرژی باد قابل استفاده در سرتاسر دنیا خیلی بیشتر از انرژی مصرفی جهان است [۲]. از این‌رو به علت افزایش تقاضای انرژی در سال‌های اخیر، توسعه سریع توربین‌های باد و مزارع بادی<sup>۱</sup> در سرتاسر دنیا

تقاضای رو به رشد انرژی در سال‌های اخیر مصرف انرژی را افزایش داده است. سوخت‌های انسیلی منابع سنتی انرژی می‌باشند. این سوخت‌ها بزرگترین منبع گسیل دی اکسید کربن و عامل اصلی گرمایش کره زمین می‌باشند. سوخت‌های انسیلی منابع محدودی دارند و روزی تمام می‌شوند. انرژی‌های تجدیدپذیر جایگزینی برای سوخت‌های انسیلی می‌باشند. در بین

<sup>۱</sup> Wind farms

Please cite this article using:

A. A. Veisi, M. H. Shafiei Mayam, Investigation of blade rotation direction in two in line turbines using large eddy simulation, *Modares Mechanical Engineering*, Vol. 16, No. 12, pp. 467-478, 2016 (in Persian)

با استفاده از روش شبیه‌سازی گردابه‌های بزرگ اثرات هم‌راستایی و طول مزروعه بادی را مورد مطالعه قرار داده و نشان دادند که برای دست‌یابی به حداقل قدرت تولیدی لزوماً نیاز به استفاده از پیکربندی شطرونجه در مزارع بادی نمی‌باشد. لی و همکاران [2] جریان حول یک توربین باد محور افقی با سرعت‌های متفاوت جریان باد ورودی با دو رویکرد RANS و شبیه‌سازی گردابه‌های آزمایشگاهی جدا شده<sup>5</sup> را مطالعه کردند. مطالعات آن‌ها نشان می‌دهد که در سرعت‌های بالای جریان باد، شبیه‌سازی گردابه‌های جدا شده در نمایش گردابه‌های جدا شده از پرده‌های توربین باد نسبت به RANS برتری دارد. ابرون و همکاران [10] در یک مطالعه آزمایشگاهی مشخصه‌های دنباله یک مدل ساده شده توربین باد غیر چرخان متخلخل و یک توربین باد چرخان سه پره را با دو شدت آشفتگی مختلف مطالعه کردند. آن‌ها نشان دادند مدل ساده شده غیر چرخان متخلخل دنباله را در پایین دست توربین باد به درستی پیش‌بینی می‌کند. یانگ و همکاران [11] یک مطالعه آزمایشگاهی برای مشخص کردن، شکل‌گیری و سیر گردابه‌های مارپیچی جدا شده از پرده‌های توربین<sup>6</sup> انجام دادند. یانگ و همکاران [6] یک توربین باد محور افقی را با استفاده از روش آزمایشگاهی PIV مطالعه کردند. آن‌ها نشان داده‌اند ناحیه دنباله نزدیک توربین بادی با خصوصیات گردابه‌های مارپیچی جدا شده از پرده‌های توربین، غیر یکنواختی و ناهمگنی شدید مشخصه‌های جریان آشفته شناخته می‌شود. ماندا و همکاران [12] شدت آشفتگی جریان باد ورودی به توول باد بر پروفیل دنباله در پایین دست توربین باد را مورد مطالعه قرار داده و نشان دادند که در شدت آشفتگی بالا، ناحیه دنباله سریع تر بازیابی می‌شود.

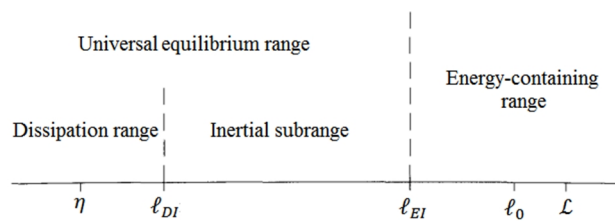
همان‌طور که ذکر شد مطالعات فراوانی به منظور فهم بهتر ناحیه دنباله، فاصله بین توربین‌های باد و آرایش مزارع بادی انجام شده است. با افزایش فاصله بین دو توربین باد بازدهی مزروعه باد افزایش می‌یابد. این چیدمان مزروعه بادی احتیاج به فضای بیشتری دارد، در حالی که در مناطق زیادی محدودیت فضای وجود دارد. از این‌رو حل این مشکل اهمیت بسزایی در طراحی مزارع بادی دارد. یک روش برای حل این مشکل پیکربندی چهت چرخش مخالف است. بر اساس بقای مونتم زاویه‌ای، جریان پشت توربین باد خلاف چهت چرخش پره می‌چرخد [11,6]. از این‌رو توربین باد پایین دست می‌پچرخد.

مطالعه حاضر بر اساس نتایج آزمایشگاهی بلایند تست 1 و بلایند تست 2 می‌باشد [14,13]. ابتدا جریان حول یک توربین باد تنها که در جهت پادساعتگرد می‌چرخد (اگر از بالادست به توربین نگاه شود) در سرعت‌های دورانی متفاوت به روش شبیه‌سازی گردابه‌های بزرگ مطالعه می‌شود. همچنین یک توربین باد تنها که در جهت ساعتگرد می‌چرخد نیز در سرعت‌های دورانی مختلف بررسی می‌شود. پرده‌های این توربین باد با آینه کردن پرده‌های توربین باد پادساعتگرد ایجاد شده‌اند. سپس جریان حول دو توربین باد پشت سر هم با دو پیکربندی چهت چرخش موافق و چهت چرخش مخالف شبیه‌سازی می‌شوند (شکل 1). علاوه بر این اثرات کاهش فاصله بین دو توربین باد نیز مطالعه می‌شود. یکی از فاکتورهای مهم در طراحی مزارع بادی، فضای موردنیاز برای نصب توربین‌های باد می‌باشد. در پیکربندی چهت چرخش موافق کاهش فاصله جدایش منجر به کاهش بازدهی مزارع بادی می‌شود، درحالی که در پیکربندی چهت چرخش مخالف کاهش فاصله منجر به افزایش بازدهی می‌شود. نتایج کار حاضر می‌تواند در اصلاح و چیدمان

مورد توجه قرار گرفته است. توربین‌های باد به دو دسته عمده تقسیم می‌شوند. توربین‌های محور افقی که حول یک محور افقی می‌چرخند و رایج-ترین نوع توربین‌های بادی می‌باشند [3]. توربین‌های محور عمودی که روتور اصلی به صورت عمودی نصب می‌شوند، این توربین‌ها نیازی به تنظیم جهت چرخش نسبت به جریان حول پرده‌های توربین باد محور افقی اختلاف فشاری بین دو طرف پره ایجاد می‌کند، که نتیجه آن یک نیروی برا بر روی پره است. این نیرو گشتاوری حول محور توربین باد ایجاد می‌کند و باعث چرخش آن می‌شود. ناحیه دنباله به دو قسمت دنباله نزدیک توربین<sup>1</sup> و دنباله دور از توربین<sup>2</sup> تقسیم شده است [4]. ناحیه دنباله نزدیک حد فاصل بین 1 تا 3 برابر قطر روتور توربین باد است. در این ناحیه اثرات هندسه پره و گردابه‌های جدا شده از پره شدت بیشتری دارند. یک ویژگی مهم توربین‌های باد محور افقی گردابه‌های جدا شده از لبه پره می‌باشد. مسیر حرکت این گردابه‌ها مارپیچی است و به سیله چرخش پره ایجاد شده است. گردابه‌های جدا شده از پره عامل تولید نویز و ارتعاش پره می‌باشند [5]. اطلاعات کافی در مورد رفتار گردابه‌ها و تأثیر آن‌ها بر توربین‌های پایین دست به منظور تخمین بهتر بارهای وارد بر آن‌ها موجود نیست. مزارع بادی را می‌توان با بررسی ساختارهای آشفتگی بهینه‌سازی کرد. به عبارت دیگر اثرات جریان سیال بر توربین‌های بادی از طریق ساختارهای آشفتگی به منظور افزایش بازدهی مزارع بادی می‌تواند مطالعه شود. ناحیه پایین دست این قسمت، ناحیه دنباله دور از توربین بادی تعریف می‌شود. در ناحیه دنباله دور اثرات هندسه توربین اهمیت کمتری دارد. توربین باد پایین دست تحت تأثیر دنباله توربین باد بالادست می‌باشد. در حقیقت توربین باد پایین دست شرایط متفاوتی نسبت به یک توربین باد تک دارد. مقداری از انرژی باد توسط توربین باد بالادست جذب می‌شود، از این‌رو توربین باد پایین دست در معرض انرژی باد کمتر و شدت آشفتگی<sup>3</sup> بیشتری قرار دارد. انرژی قابل برداشت توسط یک توربین باد متناسب با مکعب سرعت است. با توجه به دلایل ذکر شده توربین پایین دست کمتر از توربین بالادست است. بنابراین انرژی تولیدی توربین گسترش دنباله در پایین دست توربین باد به منظور کاهش اثرات برهمکنش دنباله و افزایش بازدهی عملکرد مزارع بادی اهمیت بسیاری دارد [6].

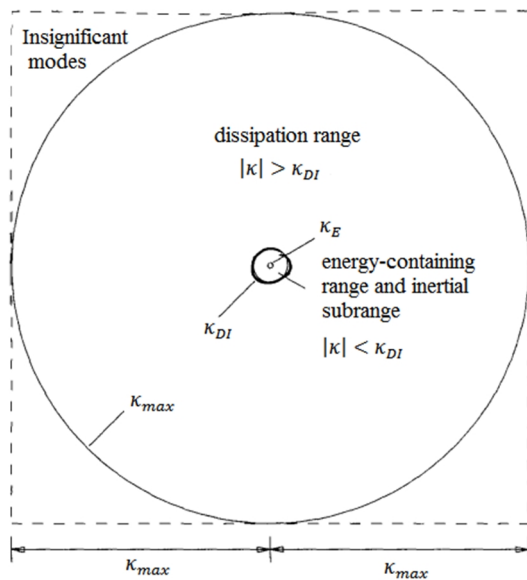
مطالعات عددی و آزمایشگاهی بسیاری به منظور فهم بهتر میدان جریان در پایین دست یک توربین باد محور افقی صورت گرفته است. بسیاری از تحقیقات از روش RANS استفاده کرده‌اند که نتیجه آن میدان سرعت متوسط‌گیری شده زمانی است. میدان سرعت لحظه‌ای به منظور فهم بهتر میدان جریان نیاز است، از این‌رو روش شبیه‌سازی گردابه‌های بزرگ<sup>4</sup> توسط محققان بسیاری برای حل این مشکل پیشنهاد شده است. اوهمو و همکاران [7] به بررسی تغییرات سرعت باد بر ناپایداری و گسترش دنباله با استفاده از روش شبیه‌سازی گردابه‌های بزرگ و مدل مش لغزان پرداختند. آن‌ها مشاهده کرده‌اند که در ناحیه دنباله نزدیک توربین باد گردابه‌های مارپیچی پایداری، توسط پرده‌های توربین ایجاد می‌شود که این ساختارهای آشفتگی در ناحیه دنباله ناپایدار می‌شوند و در ناحیه دنباله دور از توربین به گردابه‌های کوچک‌تری تفکیک می‌شوند. پخته اگل و همکاران [8] با استفاده از روش شبیه‌سازی گردابه‌های بزرگ لایه مرزی اتمسفری گذرنده از مزروعه بادی را مطالعه کردند. نتایج آن‌ها می‌تواند برای افزایش بازدهی توربین‌های باد و افزایش عمر توربین‌های بادی مورد استفاده قرار گیرد. استیون و همکاران [9]

<sup>1</sup> Near wake<sup>2</sup> Far wake<sup>3</sup> Turbulence intensity<sup>4</sup> LES



شکل 2 اندازه گردابه‌ها در اعداد رینولدز بالا با مقیاس‌های طولی مختلف [15]

[15] انداده گردابه‌ها در اعداد رینولدز بالا با مقیاس‌های طولی مختلف



شکل 3 محدوده محاسباتی در محیط طیفی برای روش DNS

[15] DNS صرف کوچکترین حرکت‌های اتلافی می‌شود [15]. شکل 3 محدوده محاسباتی در محیط طیفی برای روش DNS

RANS معادلات رینولدز برای میدان سرعت متوسط حل می‌شوند و اطلاعات لحظه‌ای سرعت در دسترس نمی‌باشند، ولی در روش شبیه‌سازی گردابه‌های بزرگ حرکت‌های مقیاس بزرگ ناپایدار به طور صریح ارائه می‌شوند. این روش می‌تواند برای جریان‌هایی که حرکت‌های مقیاس بزرگ ناپایدار، جدایی جریان و جدا شدن گردابه دارند دقیق‌تر و قابل اعتمادتر از مدل‌های تنش رینولدز باشد [15]. محدوده محاسباتی در مطالعه حاضر به طور کلی از دو بخش محرک و ثابت تشکیل شده است. در بخش ثابت معادلات پیوستگی و مومنت فیلترگیری شده برای جریان تراکم ناپذیر به صورت روابط (2,1) است:

$$\frac{\partial \bar{U}_i}{\partial x_i} = 0 \quad (1)$$

$$\frac{\partial \bar{U}_j}{\partial t} + \frac{\partial \bar{U}_i \bar{U}_j}{\partial x_i} = \nu \frac{\partial^2 \bar{U}_j}{\partial x_i \partial x_i} - \frac{1}{\rho} \frac{\partial \bar{P}}{\partial x_j} \quad (2)$$

در معادله (2)،  $\bar{P}$  میدان فشار فیلتر شده است. تجزیه میدان سرعت در روش شبیه‌سازی گردابه‌های بزرگ و متوسط‌گیری زمانی میدان سرعت به ترتیب در معادلات (3) و (4) نشان داده شده است:

$$U = \bar{U} + u' \quad (3)$$

$$U = \langle U \rangle + u \quad (4)$$

$U$  میدان سرعت لحظه‌ای،  $\bar{U}$  میدان سرعت فیلترگیری شده مکانی،  $u'$  میدان سرعت پسماند<sup>2</sup> و  $u$  میدان سرعت نوسانی می‌باشد.

توربین‌ها در یک مزرعه بادی و همچنین افزایش عملکرد این مزارع مورد استفاده قرار گیرد. لذا با عنایت به توضیحات ارایه شده و اهمیت موضوع انرژی‌های نو، کار حاضر یک مطالعه کاربردی و مفید خواهد بود.

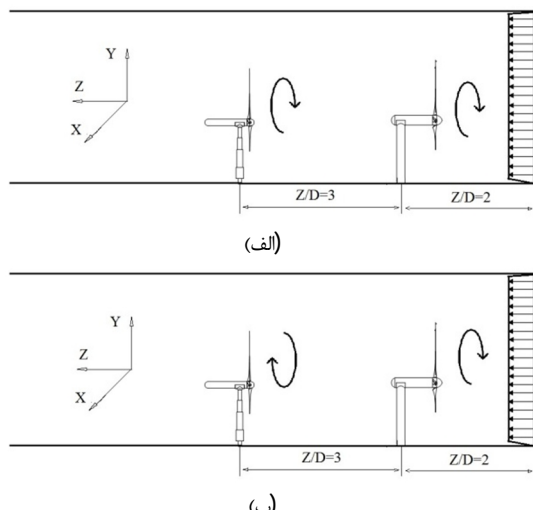
## 2- شبیه‌سازی عددی

### 2-1- معادلات حاکم

در روش شبیه‌سازی گردابه‌های بزرگ، گردابه‌های سه بعدی ناپایدار بزرگ‌تر به طور مستقیم حل می‌شوند و اثرات گردابه‌های مقیاس کوچک مدل می‌شوند. در این روش مقیاس‌های شامل انرژی حل می‌شوند و گردابه‌های کوچک‌تر از  $\ell_{EI}$  طبق تعریف کولوموگروف جدا کننده مقیاس‌های بزرگ از مقیاس‌های کوچک است) مدل می‌شوند. محدوده محاسباتی در اعداد رینولدز بالا با مقیاس‌های طولی مختلف در شکل 2 نشان داده شده است. محدوده شامل انرژی در برگیرنده گردابه‌هایی است که بیش از 80 درصد انرژی جریان را شامل می‌شوند.

در روش عددی مستقیم تمامی ساختارهای آشفتگی تا مقیاس کولوموگروف، حل می‌شوند. از نظر هزینه محاسباتی، شبیه‌سازی گردابه‌های بزرگ بین مدل تنش‌های رینولدز<sup>1</sup> و روش شبیه‌سازی عددی مستقیم قرار می‌گیرد و دلیل به وجود آمدن روش شبیه‌سازی گردابه‌های بزرگ محدودیت‌های این دو روش می‌باشد. برای مثال هزینه محاسباتی روش عددی مستقیم با مکعب عدد رینولدز افزایش می‌یابد، اکثر هزینه محاسباتی در DNS. صرف کوچکترین حرکت‌های اتلافی می‌شود [15]. شکل 3 محدوده محاسباتی در فضای عدد موج برای روش DNS را نشان می‌دهد 99.98 % مودها در عدد موج  $\kappa_{DI} < |\kappa| < \kappa_{max}$  و تنها 0.02 مودها در  $|\kappa| > \kappa_{DI}$  قرار دارند که این محدوده مشخص کننده بزرگ‌ترین حرکت‌های اتلافی است. یعنی بیشتر هزینه محاسباتی در روش DNS صرف کوچکترین مقیاس‌های حرکت می‌شود، این مقیاس‌ها کمتر از 20 درصد انرژی را شامل می‌شوند.

این موضوع اهمیت استفاده از روش شبیه‌سازی گردابه‌های بزرگ را به خوبی نشان می‌دهد. تنش‌های رینولدز ظاهر شده در معادلات RANS مجهول می‌باشند. تنش‌های رینولدز از طریق لزجت آشفتگی یا به صورت مستقیم یا از طریق معادلات انتقالی تنش رینولدز حل می‌شوند. در مدل‌های



شکل 1 (الف) پیکربندی جهت چرخش موقوف (ب) پیکربندی جهت چرخش مخالف

<sup>1</sup> Reynolds Stress Models

به نزدیک فیلتر شده کرنش مرتبط می‌شود.

$$\tau_{ij}^r = -2v_r \bar{S}_{ij} \quad (15)$$

$$\bar{S}_{ij} = \frac{1}{2} \left( \frac{\partial \bar{U}_i}{\partial x_j} + \frac{\partial \bar{U}_j}{\partial x_i} \right) \quad (16)$$

ضریب تناسب  $v_r$  در رابطه بالا لزجت گردابه‌ای حرکت‌های پسماند است و  $\bar{S}_{ij}$  تansور نزدیک فیلتر شده است. لزجت گردابه‌ای با قیاس از فرضیه طول اختلطی<sup>3</sup> به صورت رابطه (17) مدل می‌شود:

$$v_r = \ell_s^2 \bar{S} = (C_s \Delta)^2 \bar{S} \quad (17)$$

که در اینجا  $\bar{S}$  نزدیک فیلتر شده مشخصه می‌باشد،  $\ell_s$  مقیاس طولی اسماعیل‌پورینسکی است که از طریق ثابت اسماعیل‌پورینسکی  $C_s$  متناسب با عرض فیلتر  $\Delta$  می‌شود. مدل‌های دیگر نیز برای حل مسئله محصور در روش شبیه‌سازی گردابه‌های بزرگ پیشنهاد شده است. ژمنو و همکاران [17] مدل دینامیکی را ارائه کردند که با استفاده از دوتابع فیلتر یک مقدار محلی مناسب از  $C_s$  ارائه می‌کرد. مدتی بعد اصلاحاتی بر روی این مدل توسط لیلی [18] و منتوو و همکاران [19] صورت گرفت. مدل‌های دیگر نیز توسط بردینا و همکاران [20] و کلارک و همکاران [21] پیشنهاد شد، این مدل‌ها ترکیبی از مدل اسماعیل‌پورینسکی با مدل‌های دیگر است که اصطلاحاً به آن‌ها مدل‌های ترکیبی<sup>4</sup> گفته می‌شود. مدل اسماعیل‌پورینسکی علاوه بر سادگی هزینه محاسباتی کمتری دارد و برای بسیاری از جریان‌های آشفته نتایج خوبی داشته است. در این مطالعه از مدل اسماعیل‌پورینسکی به خاطر سادگی و کمتر بودن هزینه محاسباتی استفاده شده است، ثابت اسماعیل‌پورینسکی یک ثابت تجربی است که با توجه به شرایط مسئله و موارد تجربه شده قبلی انتخاب می‌شود. در این مطالعه مقدار این ثابت برابر  $C_s = 0.1$  است. مطابقت خوبی با نتایج تجربی دارد. عرض فیلتر برابر اندازه شبکه است و با رابطه (18) محاسبه می‌شود:

$$\Delta = (\Delta_x \Delta_y \Delta_z)^{1/3} \quad (18)$$

## 2-3-مشخصات توربین باد محور افقی

این مطالعه بر اساس نتایج آزمایشگاهی بلایند تست 1 و بلایند تست 2 می‌باشد [13] و [14]. کارگاه بلایند تست 1 یک توربین باد تنها و کارگاه بلایند تست 2 دو توربین باد با هندسه مشابه است که آرایش خطی دارند فقط اندکی قطر توبی‌ها متفاوت می‌باشد که باعث می‌شود قطر روتورها مقداری متفاوت شود،  $D_1 = 0.944m$  و  $D_2 = 0.894m$ . توربین باد کارگاه بلایند تست 1 هندسه کاملاً یکسانی با توربین باد پایین دست در کارگاه بلایند تست 2 دارد. اگر از بالادست به توربین باد نگاه شود توربین‌ها در جهت پاد ساعتگرد می‌چرخند. بالواره استفاده شده در پره‌های توربین باد از نوع NREL826 می‌باشد. این پروفیل به گونه‌ای طراحی شده است که ضریب همراه با ضرایب برا و پسا برای جریان‌هایی با اعداد رینولدز بالا توسط سامر [23] ارائه شده است. در شکل 4 مقطع بالواره نمایش داده شده است.

## 2-4-شرایط مرزی و شبکه محاسباتی

تونل باد شبیه‌سازی شده در این مطالعه به ترتیب طول، عرض و ارتفاع 2.7m، 11.14m و 1.8m دارد. توربین‌های باد در مرکز تونل باد نصب شده

از آنجاکه ضرب فیلتر شده  $\bar{U}_i \bar{U}_j$  با ضرب سرعت‌های فیلتر شده  $\bar{U}_i \bar{U}_j$  تفاوت دارد، رابطه (2) با معادلات ناویر استوکس تفاوت دارد. اختلاف بین این دو، تانسور تنش پسماند است که به صورت رابطه (5) تعریف می‌شود:

$$\tau_{ij}^R = \bar{U}_i \bar{U}_j - \bar{U}_i \bar{U}_j \quad (5)$$

این تانسور با تانسور تنش رینولدز قابل قیاس است:

$$\langle u_i u_j \rangle = \langle U_i U_j \rangle - \langle U_i \rangle \langle U_j \rangle \quad (6)$$

با جایگذاری رابطه (5) در رابطه (2) به دست می‌آید:

$$\frac{\partial \bar{U}_j}{\partial t} + \frac{\partial \bar{U}_i \bar{U}_j}{\partial x_i} = v \frac{\partial^2 \bar{U}_j}{\partial x_i \partial x_i} - \frac{1}{\rho} \frac{\partial \bar{P}}{\partial x_j} - \frac{\partial \tau_{ij}^R}{\partial x_i} \quad (7)$$

تانسور تنش پسماند غیر ایزوتروپیک<sup>1</sup> به صورت رابطه (8) تعریف می‌شود:

$$\tau_{ij}^R = \tau_{ij}^R - \frac{2}{3} k_r \delta_{ij} \quad (8)$$

تنش پسماند ایزوتروپیک در فشار فیلتر شده اصلاح شده ظاهر می‌شود:

$$\bar{P} = \overline{P} + \frac{2}{3} \rho k_r \quad (9)$$

و معادله مومنتوم به صورت رابطه (10) در می‌آید:

$$\frac{\partial \bar{U}_j}{\partial t} + \frac{\partial \bar{U}_i \bar{U}_j}{\partial x_i} = v \frac{\partial^2 \bar{U}_j}{\partial x_i \partial x_i} - \frac{1}{\rho} \frac{\partial \bar{P}}{\partial x_j} - \frac{\partial \tau_{ij}^R}{\partial x_i} \quad (10)$$

در سیستم مختصات متحرك، پرده‌ها سرعت زاویه‌ای ثابت  $\vec{\omega}$  را نسبت به محیط ساکن دارند. مرکز سیستم محرک با یک بردار مکان  $\vec{r}_0$  مشخص شده است. محور چرخش در جهت بردار  $\hat{z}$  است، پس می‌توان رابطه (11) را نوشت:

$$\vec{\omega} = \omega \hat{z} \quad (11)$$

و موقعیت پره نسبت به مرکز محیط محرک با بردار مکان  $\vec{r}$  مشخص می‌شود. سرعت سیال با رابطه (12) از محیط ساکن به محیط محرک تبدیل می‌شود:

$$\vec{v}_r = \vec{v} - \vec{\omega} \times \vec{r} \quad (12)$$

در رابطه بالا  $\vec{v}_r$  سرعت نسبی (سرعت در محیط محرک) است،  $\vec{v}$

سرعت مطلق (سرعت در محیط ساکن) و  $\vec{\omega}$  سرعت زاویه‌ای است. معادلات

پیوستگی و مومنتوم در سیستم مختصات محرک به صورت روابط (14,13) بازنویسی می‌شود:

$$\nabla \cdot \vec{v}_r = 0 \quad (13)$$

$$\frac{\partial \vec{v}}{\partial t} + \nabla \cdot (\vec{v}_r \vec{v}) \vec{\omega} \times \vec{v} = -\frac{1}{\rho} \nabla p + v \nabla^2 \vec{v} \quad (14)$$

## 2-2-مدل زیر شبکه

در روش شبیه‌سازی گردابه‌های بزرگ نیز مشابه روش معادلات رینولدز مسئله محصور<sup>2</sup> وجود دارد. در روش معادلات رینولدز برای یک جریان سبدی، چهار معادله حاکم مستقل وجود دارد؛ سه مؤلفه معادله مومنتوم و معادله پیوستگی، در حالی که تعداد مجھولات این چهار معادله علاوه بر سه مؤلفه سرعت و فشار (4 مجھول) شامل تنش‌های رینولدز نیز می‌شود. این موضوع در مکانیک سیالات تحت عنوان مسئله محصور شناخته می‌شود. برای حل این مشکل تانسور تنش‌های رینولدز با استفاده از مدل‌های لزجت آشفتگی یا از طریق معادلات تنش رینولدز به دست می‌آید. مسئله محصور در روش شبیه‌سازی گردابه‌های بزرگ با مدل کردن تانسور تنش پسماند همسانگرد حل می‌شود. ساده‌ترین مدل توسط اسماعیل‌پورینسکی [16] پیشنهاد شده است. در این مدل ابتدا با استفاده از مدل لزجت گردابه‌ای خطی تانسور تنش پسماند

<sup>1</sup> Anisotropic residual-stress

<sup>2</sup> Closure problem

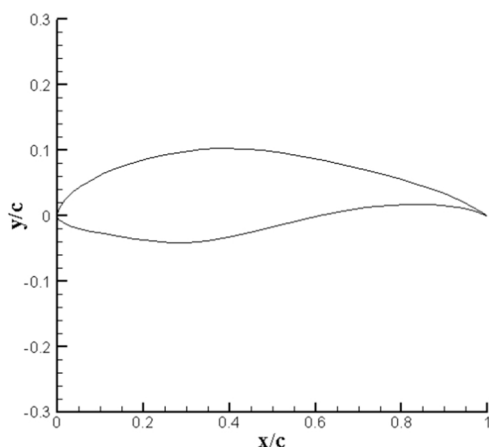


Fig 4 NREL826 airfoil.

شکل 4 بالواره NREL826

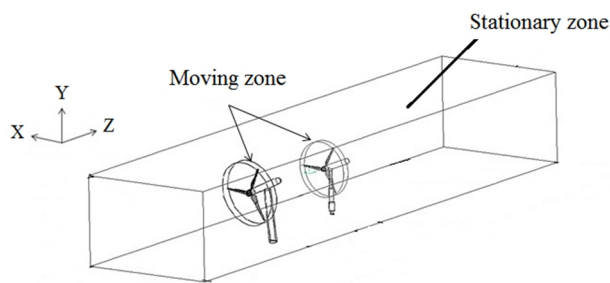


Fig 5 Wind tunnel placement of two in line turbines.

شکل 5 محل قرار گیری دو توربین باد پشت سر هم

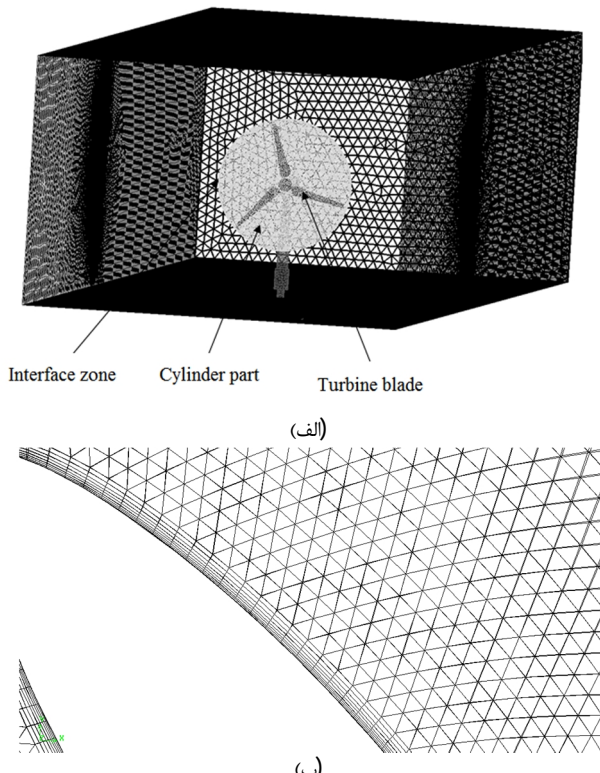


Fig 6 (a)computational mesh for a single wind turbine (b) typical mesh around the blade surface.

شکل 6 (الف) شبکه محاسباتی برای یک توربین باد (ب) نمونه شبکه بندی حول سطح پره

است. فاصله توربین باد از ورودی تونل باد برابر یک توربین باد تنها برابر با 5D است. D قطر روتور توربین است. و برای دو توربین باد پشت سر هم این فاصله برابر 2D است. فاصله بین دو توربین برابر 3D است. ارتفاع مرکز توبی از سطح زمین برای تمامی توربین ها 0.817mm است (شکل 5). در این مطالعه هندسه توربین باد دقیقاً مشابه مدل آزمایشگاهی اجرا شده است. محدوده محاسباتی در مطالعه حاضر به طور کلی از دو بخش محرک و ثابت تشکیل شده است. بخش محرک شامل یک استوانه باریک است که تراکم شبکه محاسباتی در این ناحیه زیاد است، پره های توربین باد درون استوانه قرار گرفته اند و امکان چرخش پره ها در این بخش فراهم شده است. بخش ثابت مابقی فضای تونل باد را شامل می شود. به دلیل استفاده از تکنیک مش لغزان<sup>1</sup> برای بخش متحرک برخلاف مدل MRF یک وجه مشترک دو لایه ای انتخاب شده است. تکنیک مش لغزان دقیق ترین روش شبیه‌سازی جریان برای بخش های محرک چندگانه می باشد، اما استفاده از این روش هزینه محاسباتی را بالا می برد. به منظور حل گردایان های شدید سرعت در مجاورت روتور توربین باد، شبکه بندی در نواحی نزدیک پره، توپی و برج نگهدارنده بسیار ریز در نظر گرفته شده است. در نزدیکی پره های توربین باد حداقل مقدار  $u^+$  برابر 5 است که مقدار قابل قبولی برای این روش شبیه‌سازی است (شکل 6). سرعت باد در ورودی تونل باد 10 m/s است. در این سرعت ورودی شدت آشفتگی  $TI = 0.3\%$  است. شدت آشفتگی به صورت نسبت انحراف معیار به سرعت مرجع با رابطه (19) تعریف می شود:

$$(19) \quad TI = \frac{\langle u^2 \rangle^{1/2}}{U_{ref}}$$

در سطوح پره، برج و دیوارهای تونل باد نیز دیواره با شرط عدم لغزش اعمال شده است. نسبت سرعت نوک پره در رابطه (20) ارائه شده است:

$$(20) \quad TSR = \omega R / U_{ref}$$

که در اینجا  $\omega$  سرعت دورانی،  $R$  شعاع روتور و  $U_{ref}$  سرعت مرجع است. در کار حاضر سرعت دورانی برای یک توربین باد تنها  $TSR = 6$  و برای پیکربندی با دو توربین باد پشت سر هم سرعت دورانی توربین باد بالا دست  $TSR = 6$  و برای توربین باد پایین دست  $TSR = 4$  است. سرعت های دورانی به گونه ای انتخاب شده اند که بالاترین پاره های را داشته باشند [14].

در صورتی که جریانی شرایط آشفته شدن را داشته باشد، با کوچک ترین اغتشاشی، آن اغتشاش تشدید شده و جریان کاملاً آشفته می شود. لذا در صورتی که عدد رینولذز به اندازه کافی بزرگ باشد و اغتشاشات محیطی و جریانی نیز وجود داشته باشد، جریان آشفته می شود. زمانی که برای اولین بار اغتشاشات شکل گرفته و تشدید شوند، به لحاظ ماهیت این گونه جریان ها ساختارهای آشفتگی به طور مرتب تکرار می شوند. به عبارت دیگر بخشی از ساختارها باعث تولید انرژی آشفتگی و بخش دیگری باعث اتلاف انرژی آشفتگی می شوند. ساختارهای اتلافی با تبدیل انرژی جنبشی به انرژی درونی باعث اتلاف می شوند. لذا وقتی که تعادلی بین تولید و اتلاف انرژی جنبشی آشفتگی برقرار شد، یک جریان پایدار از نظر پدیده های آشفتگی رخ می دهد. در این صورت هیچ لزومی برای میرا شدن اغتشاشات جریان آشفته و تبدیل آن به جریان آرام وجود ندارد.

عدد رینولذز محلی بر اساس وتر پره برای  $TSR = 6$  برابر  $Re_c^{\text{tip}} = 10^5$  است، البته در مقایسه با یک توربین باد مقیاس واقعی این عدد رینولذز یک مرتبه کوچکتر است. عدد رینولذز بر اساس وتر پره اثرات قابل توجهی بر مشخصه های عملکردی توربین باد دارد. برای مثال بیشینه قدرت تولیدی

<sup>1</sup> Sliding mesh technique

سرهم مقایسه شده است (شکل 7-ب). پروفیل سرعت بی بعد شده در راستای جریان و در امتداد خط افقی گذرنده از مرکز چرخش توربین باد برای دو توربین باد پشت سرهم در فاصله 1D و 4D پس از توربین باد با نتایج تجربی دو مطالعه عددی دیگر مقایسه شده است (شکل 8)، بین نتایج بدست آمده و نتایج آزمایشگاهی تطابق خوبی وجود دارد. اختلاف متوسط بین کار حاضر و نتایج تجربی حدود 2 درصد است و بیشینه خطای در بعضی نقاط حدود 6 درصد است.

#### 4- بحث و آنالیز نتایج

در این قسمت نتایج کار حاضر ارایه شده و ضمن مقایسه با کارهای گذشته، تحلیل و تفسیر آن‌ها نیز به اختصار گزارش شده است.

##### 4-1- مقایسه ضریب توان

همان‌طور که ذکر شد، پرههای ساعتگرد با آینه کردن پرههای پاد ساعتگرد ساخته می‌شوند. از این‌رو انتظار می‌رود یک توربین باد ساعتگرد با یک توربین باد پاد ساعتگرد تحت شرایط مشابه ضریب توان یکسانی داشته باشد. شکل 9 ضریب توان در سرعت‌های دورانی مختلف برای یک توربین باد ساعتگرد و پاد ساعتگرد را نشان می‌دهد. نتایج به دست آمده نشان می‌دهد ضریب توان در تمامی سرعت‌های دورانی برای هر دو نوع توربین باد تقریباً یکسان است. در ادامه ضریب توان برای دو توربین باد پشت سرهم با دو پیکربندی جهت چرخش موافق و جهت چرخش مخالف محاسبه می‌شود. نتایج نشان می‌دهد ضریب توان حدود 4 درصد در توربین پایین دست برای پیکربندی جهت چرخش مخالف افزایش می‌یابد. در ادامه فاصله بین توربین باد پایین دست و بالا دست در پیکربندی جهت چرخش مخالف به منظور افزایش بازدهی کاهش داده می‌شود. کاهش فاصله بین دو توربین باد باعث افزایش بازدهی پیکربندی جهت چرخش مخالف می‌شود (شکل 10).

##### 4-2- گردابه‌های جدا شده از توربین باد

توربین باد پایین دست تحت تأثیر دنباله توربین باد بالا دست است. در حقیقت ساختارهای آشفتگی بارهای دینامیکی و ارتعاشات قابل توجهی بر توربین باد پایین دست وارد می‌کنند. از این‌رو فهم بهتر ساختارهای آشفتگی در ناحیه دنباله توربین باد به منظور کمینه کردن بارهای دینامیکی حاصل از جریان باد بر توربین‌های پایین دست و همچنین بهینه سازی طراحی مزاعز بادی از اهمیت بسیاری برخوردار است. این موضوع احتیاج به دانش گسترده‌ای درباره توزیع مکانی ساختارهای آشفتگی در ناحیه دنباله دارد. گردابه‌های مارپیچی جدا شده از پره ویژگی اصلی توربین‌های باد محور افقی می‌باشند و نقش مهمی در ناحیه دنباله بازی می‌کنند. امروزه بسیاری از محققان تاکید کرده‌اند که ورتسیتی برای مشخص کردن گردابه مناسب نمی‌باشد چون که قادر به تمایز بین حرکت‌های برشی مطلق و حرکت‌های چرخشی یک گردابه واقعی نمی‌باشد. در واقع این موضوع اهمیت استفاده از یک روش استخراج گردابه برای مشخص کردن و دنبال کردن ساختار گردابه‌ها را نشان می‌دهد. روش‌ها و الگوریتم‌های زیادی برای مشخص کردن گردابه‌ها توسعه محققان پیشنهاد شده است. معروف‌ترین این روش‌ها بر اساس استخراج گردابه‌ها بر اساس تانسور گرادیان سرعت،  $\nabla u$ ، می‌باشند. بسته به روش استفاده شده معیارهای محلی می‌تواند بر اساس متغیرهای  $\lambda_2$  ([26]),  $\Delta$  ([27]),  $Q$  ([28]) و  $\lambda_{ci}$  ([29]) باشند. در مطالعه حاضر روش  $c_{ci}$  برای برش‌های دو بعدی از میدان سرعت که توسط زو و همکاران [29] ارایه شده است، برای آشکارسازی

برای توربین بادی که در عدد رینولدز کمتری کار می‌کند خیلی کمتر از توربین باد با عدد رینولدز بالا است [24]. با این حال مدلیسی و آلفرسون [25] پیشنهاد کرده‌اند که گردابه‌های ناپایدار و ساختارهای جریان آشفته در ناحیه دنباله توربین تقریباً باید مستقل از عدد رینولدز  $Re_c^{\text{tip}}$  باشند. بر اساس قانون بقای مومنت و انرژی، قدرت خروجی توربین متناسب با مکعب اختلاف سرعت است. از این رو یکی از عوامل تأثیرگذار بر طراحی توربین‌های باد ضریب  $C_p$  است، که نسبت انرژی سینتیکی دریافت شده از باد به کل انرژی باد است. این ضریب عبارت است از:

$$(21) \quad C_p = \frac{P}{\frac{1}{2} \rho U_0^2 A}$$

#### 5- روش حل

در این پژوهش برای گسته‌سازی معادلات از نرم افزار انسیس فلوئنت استفاده شده است. حل گر استفاده شده از روش حجم محدود استفاده می‌کند. ترم فشار از طریق الگوریتم سیمیل<sup>1</sup> به دست می‌آید، در روش سیمیل ابتدا فشار پیش‌بینی و در مرحله بعدی اصلاح می‌شود. گسته‌سازی مکانی معادله مومنت بر مبنای تفاضل مرکزی محدود<sup>2</sup> و معادله فشار بر مبنای استاندارد است و گسته‌سازی زمانی معادلات از مرتبه دوم ضمنی می‌باشد. شبکه‌بندی ساختار نیافته برای هندسه مورد نظر استفاده شده است. شبکه-بندی به حدی ریز شده است که جواب‌ها مستقل از شبکه شوند. در روش شبیه‌سازی گردابه‌های بزرگ شبکه محاسباتی باید به شیوه‌ای انتخاب شود که میدان سرعت فیلتر شده ( $\bar{U}(t)$ ) شبکه نسبتاً درشتی (نسبت به DNS) داشته باشد. فاصله شبکه محاسباتی با عرض فیلتر متناسب است. از این‌رو هر چقدر شبکه محاسباتی ریزتر باشد حرکت‌های شامل انرژی بیشتری حل می‌شوند. با انتخاب شبکه درشت‌تر کسر قابل توجهی از انرژی در حرکت‌های پسمند باقی می‌ماند که باعث می‌شود شبیه‌سازی بهشدت به مدل‌سازی واپس‌نمایش شود. ضریب  $C_p$  برای یک توربین باد تنها در شبکه‌های محاسباتی مختلف بررسی شده است (جدول 1). مقایسه بین نتایج نشان می‌دهد تغییر چندانی در ضریب  $C_p$  برای شبکه محاسباتی ریزتر از 2.7 میلیون وجود ندارد. از این‌رو شبکه محاسباتی 2.7 میلیون برای یک توربین باد تک در مطالعه حاضر انتخاب شده است. تعداد کل سلول‌های شبکه محاسباتی برای دو توربین باد پشت سر هم حدود 4.6 میلیون است. گام زمانی معادل 0.000969 ثانیه است.

#### 3- صحت سنجی و استقلال از شبکه حل عددی

در این بخش، نتایج شبیه‌سازی جریان حول یک توربین باد تک و دو توربین باد پشت سرهم (جهت چرخش موافق) با نتایج آزمایشگاهی و دو شبیه‌سازی دیگر به منظور اطمینان از درستی حل عددی مقایسه شده است. ضریب  $C_p$  با نتایج تجربی برای یک توربین باد تک (شکل 7-الف) و دو توربین باد پشت

جدول 1 استقلال از شبکه

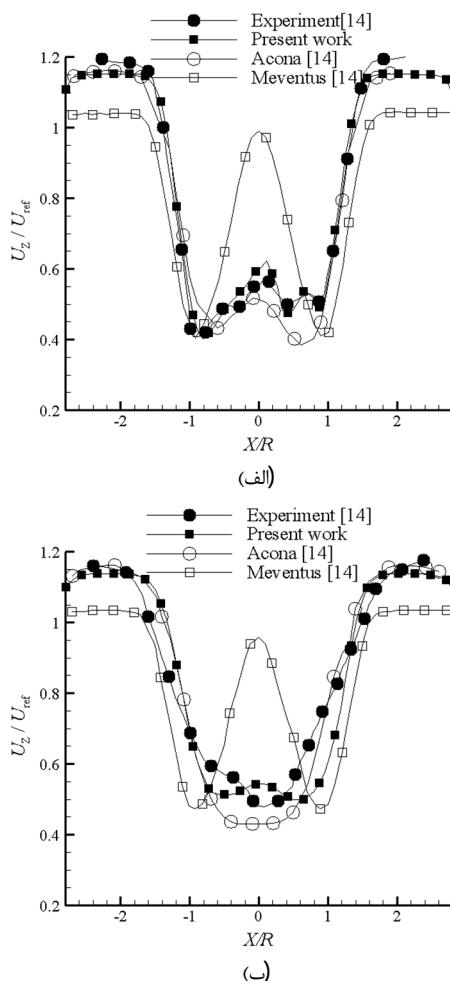
Table1 Grid independence

سرعت متوسط‌گیری شده در راستای جریان در مرکز تونل باد، 1D	ضریب $C_p$ اندازه شبکه محاسباتی	ضد $C_p$ انداده شبکه
1100000	0.3924	7.34
1800000	0.3965	7.59
2700000	0.4095	7.76
3400000	0.4102	7.80

<sup>1</sup> SIMPLE

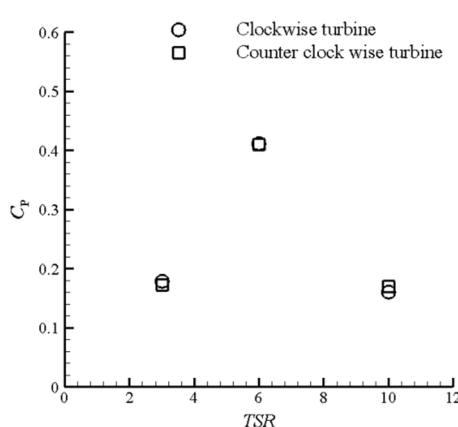
<sup>2</sup> Bounded central differencing

انرژی گردابه‌ها در فاصله جداش کمتر باشد. اثرات گردابه‌های جدا شده از ته پره در ناحیه دنباله دور در هیچ کدام از پیکربندی‌های مورد نظر مشاهده نمی‌شود.



**Fig. 8** Comparison of time averaged velocity profile along the horizontal lines centered at 1D (a) and 4D (b) in downstream of a two in line turbines

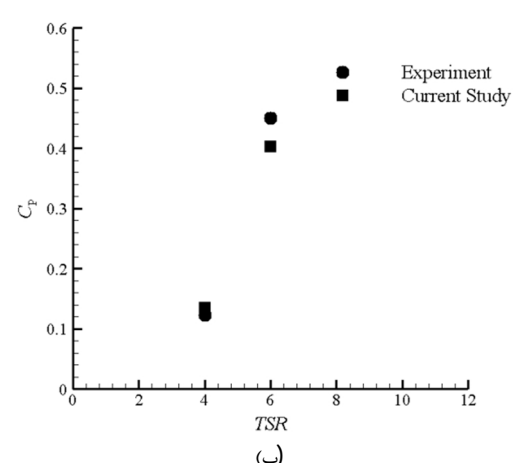
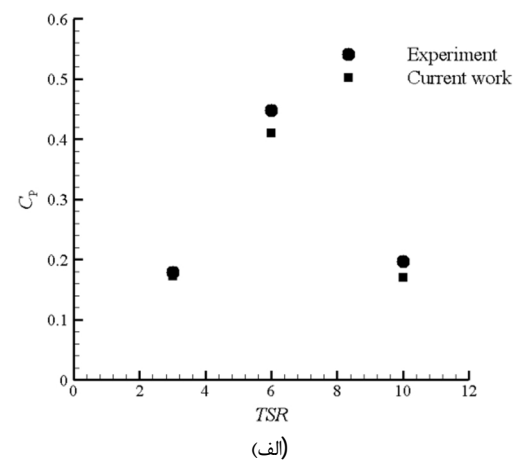
شکل 8 مقایسه سرعت متوسط‌گیری شده زمانی در امتداد خط افقی در پایین دست توربین باد در پیکربندی با دو توربین باد پشت سرهم (الف) 1D (ب) 4D



**Fig 9** Power coefficient comparison in a clockwise and counter clock wise turbine

شکل 9 مقایسه ضریب توان در یک توربین باد ساعتگرد و پاد ساعتگرد

گردابه‌ها استفاده خواهد شد. تعریف عددی و مفهوم فیزیکی روش  $\lambda$  توسط زو و همکاران ارائه شده است. شکل 11 گردابه‌های جدا شده از توربین باد در میدان سرعت لحظه‌ای برای یک پیکربندی جهت چرخش مخالف و دو پیکربندی جهت چرخش مخالف با فاصله جداش کمتر را نشان می‌دهد. گردابه‌های پشت توربین باد پایین دست نسبت به گردابه‌های توربین باد بالا دست بیشتر پخش شده‌اند (شکل‌های 11-الف و ب). این موضوع می‌تواند به خاطر اثرات گردابه‌های جدا شده از توربین باد تقویت کرده است. در ناحیه گردابه‌های جدا شده از توربین باد پایین دست را در پیکربندی جهت چرخش مخالف در نیمه بالایی و پایینی تونل باد مشابه است ولی در پیکربندی جهت چرخش مخالف اثرات این گردابه‌ها در ناحیه پایینی تونل باد نسبت به ناحیه بالایی تشدید شده است. با کاهش فاصله جداش در  $z=0.4-0.8$  (الف) در فاصله بین  $z=0.4-0.8$  (ج) اثرات گردابه‌های جدا شده از پره دیده نمی‌شود. این موضوع می‌تواند بخاطر جذب انرژی این گردابه‌ها توسط توربین باد پایین دست باشد. همچنین در ناحیه دنباله دور اثرات گردابه‌ها در فاصله جداش 1D نسبت به فاصله جداش 3D کمتر شده است. این موضوع می‌تواند بخاطر برداشت بیشتر



**Fig 7**  $C_p$  comparison (a) single turbine, (b) two in line turbines.  $TSR = 6$  for upstream wind turbine and  $TSR = 4$  for downstream wind turbine

شکل 7 مقایسه ضریب  $C_p$  (الف) یک توربین باد (ب) دو توربین باد پشت سرهم

برای توربین باد بالا دست و  $TSR=4$  برای توربین باد پایین دست است

توربین باد بالادست است که نواحی مثبت و منفی را کنار یکدیگر ایجاد می‌کند. این الگوی توزیع سرعت با حرکت به سمت پایین دست تونل باد هموارتر شده و سرعت عمودی اضمحلال می‌رود. مقایسه شکل‌های 13-الف و ب نشان می‌دهند که سرعت عمودی در پیکربندی جهت چرخش مخالف و ب نشان می‌دهند که سرعت چرخش موافق کاهش قابل توجه‌ای داشته است. از نسبت به پیکربندی جهت چرخش موافق افزایش بازدهی توربین باد پایین دست در این روش می‌توان چنین نتیجه گرفت افزایش جانبی می‌باشد. مقایسه شکل‌های 13-ب و ج نشان می‌دهد که کاهش فاصله جدایش بین دو توربین باد باعث افت بیشتر میدان سرعت عمودی شده است که فرضیه بالا را تایید می‌کند.

#### 4-4-شدت آشفتگی

شدت آشفتگی به عنوان معیاری برای بارهای ناشی از خستگی بر بخش‌های مختلف یک توربین باد استفاده می‌شود. در شکل 14 متوسط زمانی شدت آشفتگی در فواصل مختلف برای یک پیکربندی جهت چرخش موافق و دو پیکربندی جهت چرخش مخالف باختر سرعت‌های جانبی می‌باشد. مقایسه شکل‌های 13-ب و ج نشان می‌دهد که کاهش جدایش بین دو توربین باد باعث افت بیشتر میدان سرعت عمودی شده است که فرضیه بالا را تایید می‌کند. این روش مطالعه شدت آشفتگی پس از توربین باد به منظور نصب توربین‌های باد پایین دست در یک مزرعه بادی از اهمیت بسیاری برخوردار است. در شکل 14 دو نقطه بیشینه محلی در محل قرارگیری لبه‌های پره و یک نقطه کمینه در ناحیه ته پره و توپی برای تمامی پیکربندی‌ها دیده می‌شود. با افزایش فاصله پایین دست پروفیل توزیع شدت آشفتگی هموارتر می‌شود. نقاط بیشینه محلی نشان دهنده گردابه‌های جدا شده از لبه پره می‌باشد. با افزایش فاصله پایین دست برای تمامی پیکربندی‌های مورد مطالعه شدت آشفتگی افزایش می‌یابد. در شکل 14 توزیع شدت آشفتگی برای تمامی پیکربندی‌ها در فواصل پایین دست مختلف تقریباً مشابه است بجز 14-ج در این پیکربندی افزایش شدت آشفتگی تا فاصله 5D بسیار آهسته است ولی از فاصله 5D تا 7D افزایش ناگهانی شدت آشفتگی مشاهده می‌شود. با این حال در فاصله 7D نیز شدت آشفتگی در پیکربندی جهت چرخش مخالف با فاصله جدایش 1D از دو پیکربندی دیگر کمتر است.

#### 5-نتیجه گیری

مطالعه حاضر بر اثرات چرخش پره‌های توربین باد پایین دست در پیکربندی با دو توربین باد پشت سر هم متمرکز است. برای مطالعه جریان حول توربین باد از روش شبیه‌سازی گردابه‌های بزرگ استفاده شده است. میدان جریان در یک پیکربندی جهت چرخش موافق و دو پیکربندی جهت چرخش مخالف با فاصله جدایش متفاوت بررسی شده است. نتایج مطالعه حاضر با نتایج تجربی گزارش شده در کارهای گذشته تطابق خوبی دارد. پره‌های ساعتگرد با آینه کردن پره‌های پاد تنها با جهت چرخش ساعتگرد و پاد ساعتگرد در سرعت‌های دورانی متفاوت ضریب توان تقریباً مشابه است، در حالی که در یک پیکربندی با جهت چرخش مخالف با فاصله جدایش 3D نسبت به پیکربندی جهت چرخش موافق ضریب توان تقریباً مشابه است، در حالی که در یک پیکربندی با کاهش فاصله جدایش ضریب توان افزایش بیشتر دارد. در مطالعه حاضر از روش  $C_{p,Cr}$  به منظور استخراج گردابه‌های جدا شده از پره استفاده شده است. گردابه‌های جدا شده از توربین باد بالادست اثرات گردابه‌های جدا شده از توربین باد پایین دست را تشیدید می‌کنند. کاهش

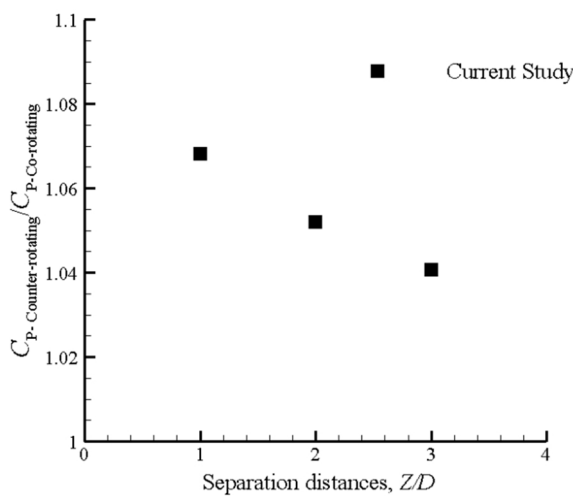


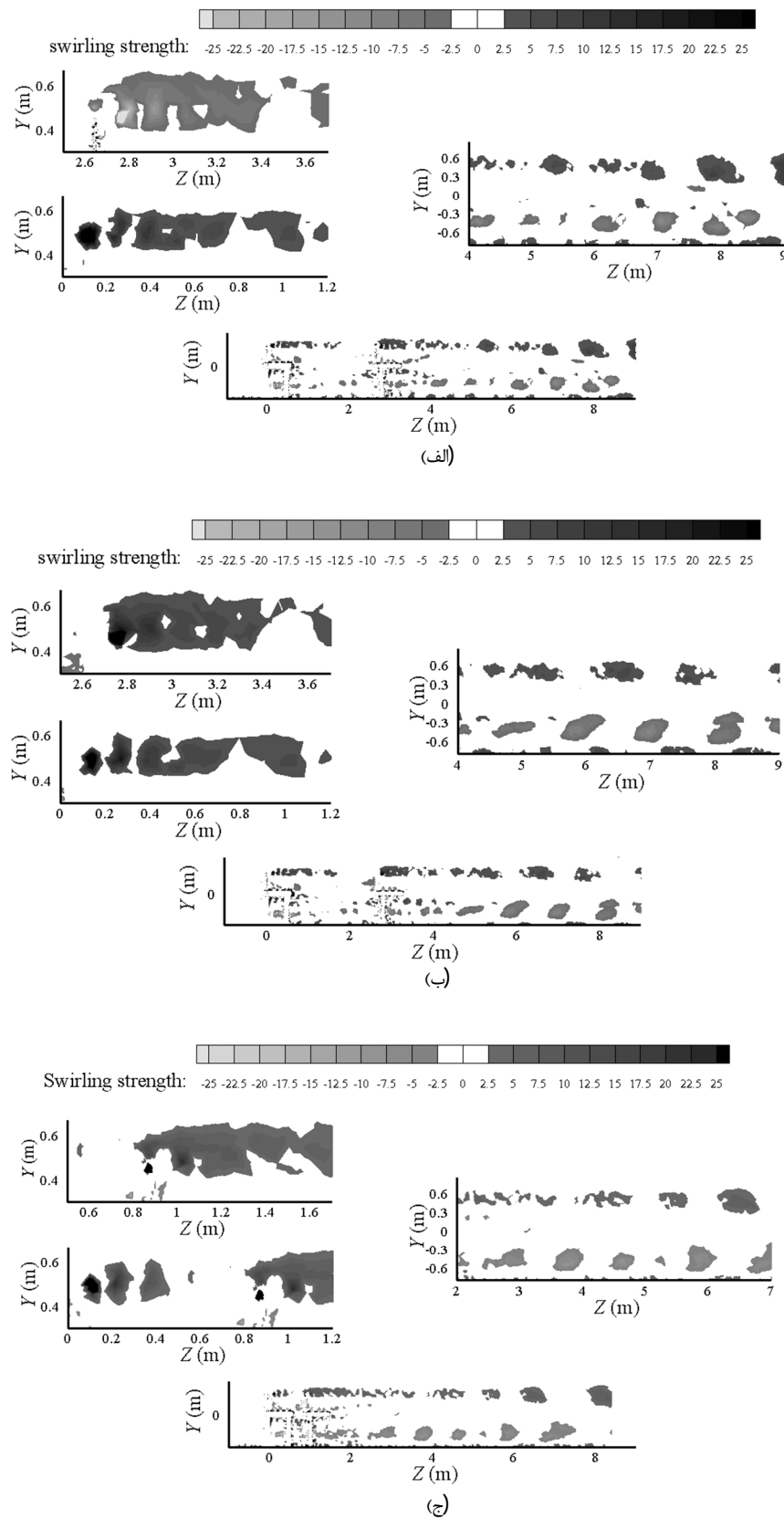
Fig 10 Power coefficient at different separation distances in counter-rotating configuration

شکل 10 ضریب توان در فواصل جدایش مختلف در پیکربندی جهت چرخش مخالف

#### 4-3-پروفیل سرعت

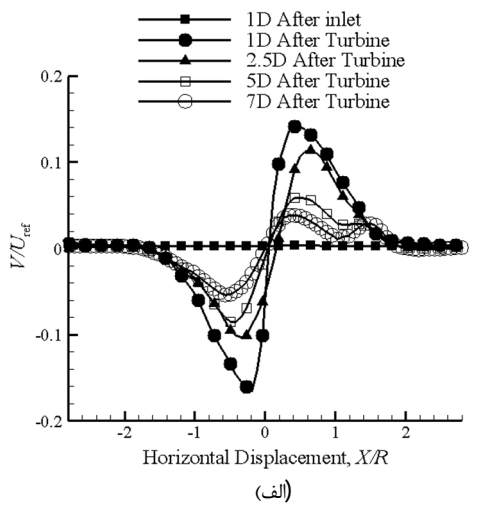
نتایج متوسط‌گیری شده پروفیل بی بعد سرعت در راستای جریان در شکل 12 برای یک پیکربندی جهت چرخش موافق و دو پیکربندی جهت چرخش مخالف با فواصل جدایش متفاوت نمایش داده شده است. با افزایش فاصله پایین دست سرعت در راستای جریان افزایش پیدا می‌کند و دنباله بازیابی می‌شود. در تمامی پیکربندی‌ها دو نقطه کمینه محلی در محل قرارگیری پره می‌شود. در یک نقطه کمینه در انتهای پره یا محل قرارگیری توپی دیده می‌شود. کاهش سرعت در لبه پره می‌تواند باختر گردابه‌های جدا شده از لبه پره باشد که در بخش قبل مشاهده شد. به عبارت دیگر ساختارهای آشفتگی ایجاد شده در ناحیه دنباله توربین بدنحوی تشکیل می‌گردد که این نواحی کم سرعت را ایجاد می‌کنند. دلیل دیگر کاهش سرعت در این نواحی می‌تواند به دلایل خاطر باشد که انرژی بیشتری در ناحیه لبه پره نسبت به ته پره از جریان باد دریافت می‌شود که به خاطر بیشتر بودن سرعت در لبه پره نسبت به ته پره است. توزیع سرعت در ناحیه دنباله نزدیک در دو پیکربندی جهت چرخش مخالف نسبت به پیکربندی جهت چرخش موافق تقارن بیشتری دارد. در کل پروفیل سرعت در شکل 12 برای هر سه پیکربندی تفاوت عمدی‌ای با یکدیگر ندارد. از این روش می‌توان نتیجه گرفت سرعت در راستای جریان نمی‌تواند عامل افزایش بازدهی در پیکربندی جهت چرخش مخالف باشد.

شکل 13 نتایج متوسط‌گیری شده پروفیل بی بعد سرعت عمودی برای یک پیکربندی جهت چرخش موافق و دو پیکربندی جهت چرخش مخالف با فواصل جدایش متفاوت را نشان می‌دهد. بر اساس قانون بقای مونتم کاهش سرعت در راستای جریان باعث افزایش سرعت‌های جانبی می‌شود. از این روش با افزایش فاصله پایین دست سرعت در راستای جریان افزایش ولی سرعت‌های جانبی کاهش می‌باشد. یک ناحیه مثبت و یک ناحیه منفی در پروفیل سرعت عمودی در پیکربندی جهت چرخش موافق دیده می‌شود. در پیکربندی جهت چرخش مخالف (شکل‌های 13-ب و ج) دو ناحیه منفی و دو ناحیه مثبت دیده می‌شود که به صورت متناوب در کنار یکدیگر قرار گرفته‌اند. همان‌طور که قبلاً اشاره شد دنباله خلاف جهت چرخش پره می‌چرخد از این روش پیکربندی جهت چرخش مخالف دنباله توربین باد پایین دست خلاف جهت دنباله توربین باد بالادست می‌چرخد. در نتیجه الگوی توزیع سرعت عمودی در شکل‌های 13-ب و ج بخاطر نفوذ دنباله توربین باد پایین دست در دنباله

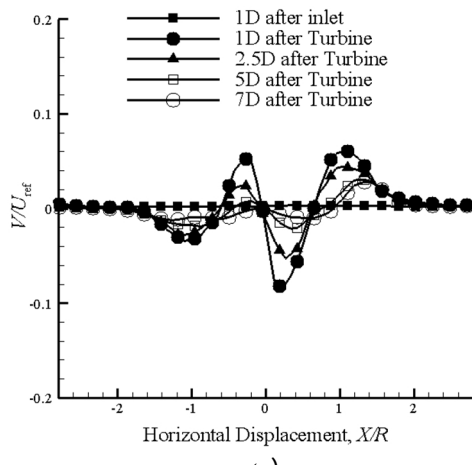


**Fig. 11** Swirling strength in the instantaneous velocity field (a) co-rotating configuration (b) counter-rotating configuration (c) counter-rotating configuration by separation distance of 1D

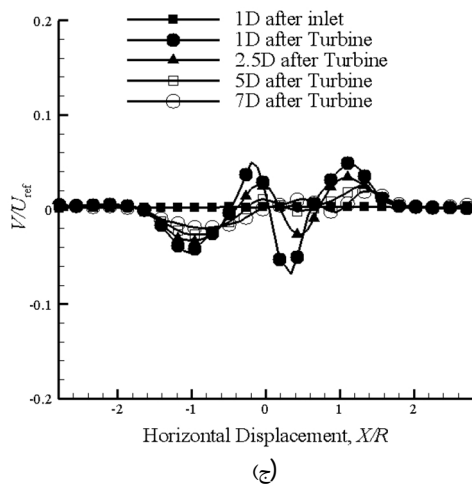
شکل ۱۱ قدرت چرخش در میدان سرعت لحظه‌ای (الف) پیکربندی جهت چرخش موافق (ب) پیکربندی جهت چرخش مخالف (ج) پیکربندی جهت چرخش مخالف با فاصله 1D



(الف)



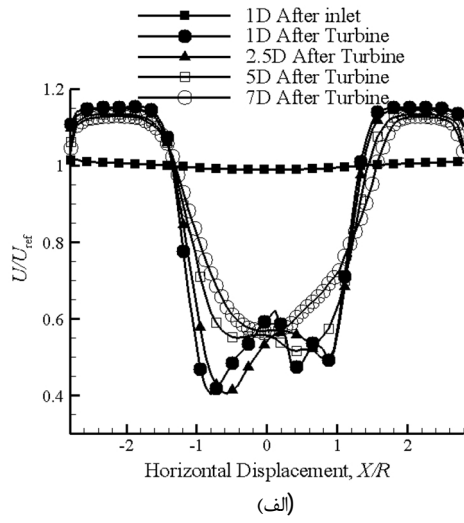
(ب)



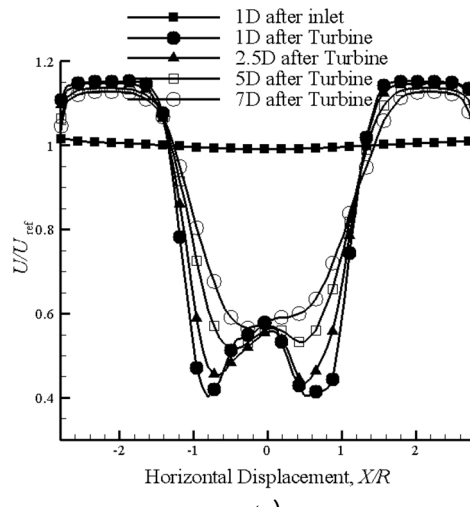
(ج)

**Fig 13** Comparison of time averaged cross stream velocity profile (a) co-rotating configuration (b) counter-rotating configuration (c) counter-rotating configuration by separation distance of 1D

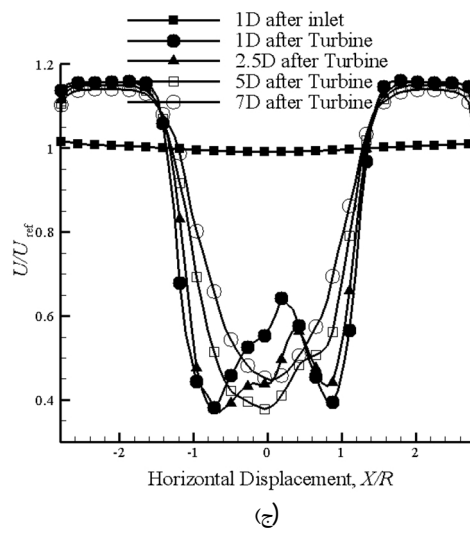
شکل ۱۳ مقایسه پروفیل متوسط‌گیری شده زمانی سرعت عمودی (الف) پیکربندی جهت چرخش موافق (ب) پیکربندی جهت چرخش مخالف (ج) پیکربندی جهت چرخش مخالف با فاصله جداش ۱D



(الف)



(ب)



(ج)

**Fig 12** Comparison of time averaged streamwise velocity profile (a) co-rotating configuration (b) counter-rotating configuration (c) counter-rotating configuration by separation distance of 1D

شکل ۱۲ مقایسه پروفیل متوسط‌گیری شده زمانی سرعت در راستای جریان (الف) پیکربندی جهت چرخش موافق (ب) پیکربندی جهت چرخش مخالف (ج) پیکربندی جهت چرخش مخالف با فاصله جداش ۱D

فاصله جدایش بین دو توربین باد باعث می‌شود اثرات گردابه‌ها در فاصله  $z=0.4\text{--}0.8$  دیده نشود. این موضوع حذف و از بین بردن گردابه‌های جدا شده از توربین باد بالا دست توسعه توربین باد پایین دست را تأیید می‌کند. همچنین کاهش فاصله جدایش بین دو توربین باد باعث کاهش اثرات گردابه‌ها در ناحیه دنباله دور می‌شود. مطالعه میدان سرعت نشان می‌دهد در ناحیه پشت توربین باد در تمامی پیکربندی‌ها سرعت در راستای جریان کاهش و در راستای عمودی افزایش می‌یابد. با حرکت به سمت پایین دست سرعت در راستای جریان افزایش و دنباله بازیابی می‌شود ولی سرعت عمودی کاهش می‌یابد و اضمحلال می‌رود. نقاط کمینه محلی در محل فرارگیری نوک پره در میدان سرعت در راستای جریان می‌توانند با خاطر گردابه‌های جدا شده از پره یا برداشت بیشتر انرژی در لبه پره باشد. پروفیل سرعت در راستای جریان برای تمامی پیکربندی‌ها تفاوت اندکی دارد. این موضوع نشان می‌دهد که در پیکربندی جهت چرخش مخالف سرعت در راستای جریان تأثیری در افزایش بازدهی توربین باد پایین دست ندارد. در پیکربندی جهت چرخش موافق میدان سرعت عمودی یک یک ناحیه مثبت و یک ناحیه منفی دارد ولی در پیکربندی جهت چرخش مخالف دو ناحیه مثبت و دو ناحیه منفی دارد. دلیل به وجود آمدن چنین الگویی در پیکربندی جهت چرخش مخالف نفوذ دنباله توربین باد پایین دست در دنباله ایجاد شده توسعه توربین باد بالا دست است. میدان سرعت عمودی در پیکربندی جهت چرخش مخالف نسبت به پیکربندی جهت چرخش موافق افت شدیدی دارد و با کاهش فاصله جدایش این افت سرعت بیشتر می‌شود. از این‌رو می‌توان نتیجه گرفت سرعت‌های جانبی در پیکربندی جهت چرخش مخالف باعث افزایش بازدهی توربین باد پایین دست می‌شوند.

بررسی شدت آشفتگی نشان می‌دهد دو نقطه بیشینه محلی در محل فرارگیری لبه‌های پره و یک نقطه کمینه در ناحیه ته پره و تپی برای تمامی پیکربندی‌ها وجود دارد. نقاط بیشنه محلی می‌توانند با خاطر گردابه‌های جدا شده از لبه پره باشد و نقطه کمینه محلی به خاطر گردابه‌های جدا شده از برج نگهدارنده توربین باد است. در تمام پیکربندی‌ها با افزایش فاصله پایین دست شدت آشفتگی افزایش می‌یابد. پیکربندی جهت چرخش مخالف و جهت چرخش مخالف با فاصله جدایش یکسان الگوی مشابه‌ای از شدت آشفتگی را نمایش می‌دهند. با این حال کاهش فاصله جدایش بین دو توربین باد باعث می‌شود شدت آشفتگی کاهش یابد.

## 6- فهرست علائم

	$A$	مساحت ( $\text{m}^2$ )
	$C_p$	ضریب توان
	$C_s$	ثابت اسماعیل‌پیک
	$k_r$	انرژی سینتیکی ایزوتروپیک ( $\text{s}^{-2}\text{m}^2$ )
	$\bar{P}$	میدان فشار فیلتر شده ( $\text{kgm}^{-1}\text{s}^{-2}$ )
	$P$	انرژی سینتیکی باد ( $\text{kgms}^{-3}$ )
	$R$	شعاع رotor (m)
	$Re_c^{\text{tip}}$	عدد رینولدز بر اساس نوک پره
	$\bar{S}$	نرخ کرنش فیلتر شده مشخصه ( $\text{s}^{-1}$ )
	$\bar{S}_{ij}$	تansور نرخ کرنش فیلتر شده ( $\text{s}^{-1}$ )
	$TI$	شدت آشفتگی
	$U_{\text{ref}}$	سرعت مرتع (ms <sup>-1</sup> )

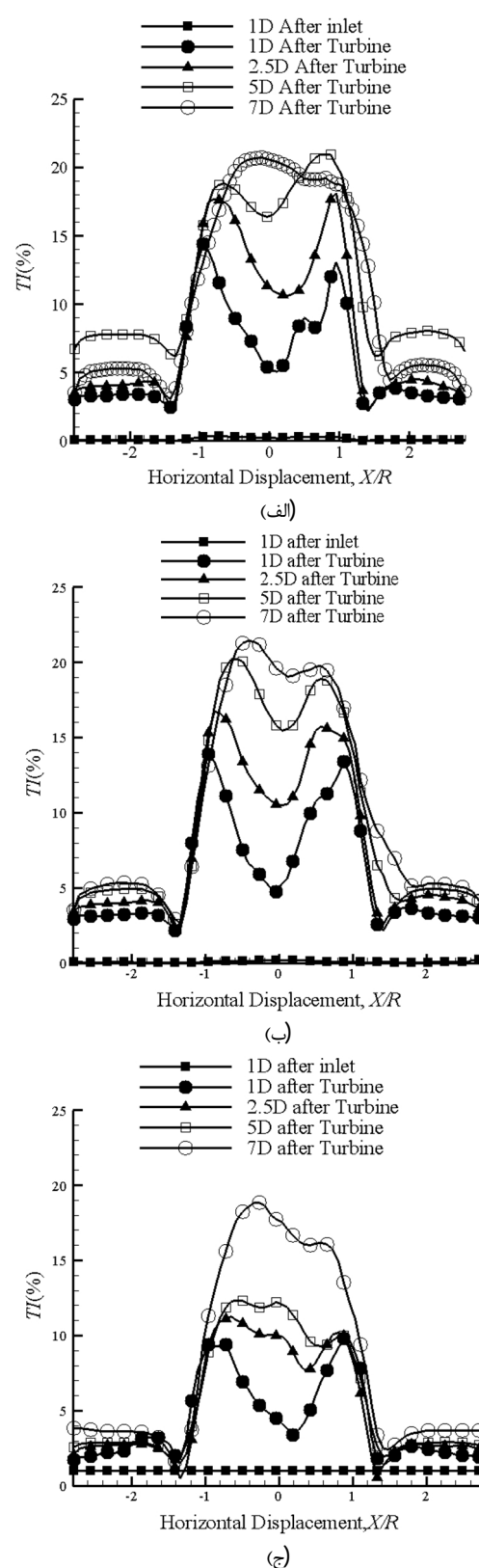


Fig. 14 Comparison of time averaged turbulence intensity profile (a) co-rotating configuration (b) counter-rotating configuration (c) counter-rotating configuration by separation distance of 1D

شکل ۱۴ مقایسه پروفیل متوسطگیری شده زمانی شدت آشفتگی (الف) پیکربندی جهت چرخش موافق (ب) پیکربندی جهت چرخش مخالف (ج) پیکربندی جهت چرخش مخالف با فاصله جدایش 1D

- simulation studies of the effects of alignment and wind farm length, *Journal of Renewable and Sustainable Energy*, Vol. 6, No. 2, pp. 1–14, 2014.

[10]S. Aubrun, S. Loyer, P.E. Hancock, P. Hayden, Wind turbine wake properties: Comparison between a non-rotating simplified wind turbine model and a rotating model, *Journal of Wind Engineering and Industrial Aerodynamics*, Vol. 120, No. 1, pp. 1–8, 2013.

[11]H. Hu, Z. Yang, P. Sarkar, Dynamic wind loads and wake characteristics of a wind turbine model in an atmospheric boundary layer wind, *Experiments in Fluids*, Vol. 52, No. 5, pp. 1277–1294, 2012.

[12]T. Maeda, Y. Kamada, J. Murata, S. Yonekura, T. Ito, A. Oawa, T. Kogaki, Wind tunnel study on wind and turbulence intensity profiles in wind turbine wake, *Journal of Thermal Science*, Vol. 20, No. 2, pp. 127–132, 2011.

[13]P. Å. Krogstad P. E. Eriksen, ‘Blind test’ calculations of the performance and wake development for a model wind turbine, *Renewable Energy*, Vol. 50, No. 1, pp. 325–333, 2013.

[14]F. Pierella, E. Eriksen, L. Sætran, Invitation to the 2012 ‘Blind test 2’ Workshop Calculations for two wind turbines in line, No. October, pp. 1–11, 2012.

[15]S. B. Pope, *Turbulent Flows*, pp. 351–558, Cambridge University Press, 2000

[16]J. Smagorinsky, General Circulation Experiments With the Primitive Equations, *Monthly Weather Review*, Vol. 91, No. 3, pp. 99–164, 1963.

[17]M. Germano, U. Piomelli, P. Moin, W. H. Cabot, A dynamic subgrid-scale eddy viscosity model, *Phys. Fluids A Fluid Dyn.*, Vol. 3, No. 7, p. 1760, 1991.

[18]D. K. Lilly, A Proposed Modification of the Germano-Subgrid-Scale Closure Method, *Physics of Fluids A*, Vol. 4, No. 3, pp. 633–635, 1992.

[19]C. Meneveau, T. S. Lund, W. H. Cabot, A Lagrangian dynamic subgrid-scale model of turbulence, *Journal of Fluid Mechanics*, Vol. 319, No. 1, pp. 353–385, 1996.

[20]J. Bardina, J. H. Ferziger, W. C. Reynolds, Improved subgrid models for large eddy simulation, *13th Fluid and Plasma Dynamics Conference*, Stanford University, CA, United States, July 14–16, 1980

[21]R. A. Clark, J. H. Ferziger, W. C. Reynolds, Evaluation of subgrid-scale models using an accurately simulated turbulent flow, *Journal of Fluid Mechanics*, Vol. 91, No. 1, pp. 1–16, 1979.

[22]J. L. Tangler, D. M. Somers, NREL airfoil families for HAWTs, *Proceedings of the American Wind Energy Association Wind power Conference*, Washington, National Renewable Energy Laboratory; January 1995.

[23]D. Somers, *Design and experimental results for the S825 Airfoil*, Technical Report NREL/SR-500-36344, National Renewable Energy Laboratory, 1999.

[24]P. H. Alfredsson, J. A. Dahlberg, P. E. J. Vermeulen, A comparison between predicted and measured data from wind turbine wakes, *Wind Engineering*, Vol. 6, No. 3, pp. 149–155, 1982.

[25]D. Medicci, P. H. Alfredsson, Measurements on a wind turbine wake: 3D Effects and bluff body vortex shedding, *Wing Energy*, Vol. 9, No. 3, pp. 219–236, 2006.

[26]J. Jeong, F. Hussain, On the identification of a vortex, *Journal of Fluid Mechanics*, Vol. 285, No. 1, pp. 69–94, 1995.

[27]A. E. Perry, M. E. Chong, B. J. Cantwell, A general classification of three-dimensional flow fields, *Physics of Fluids A*, Vol. 2, No. 5, pp. 765–777, 1990.

[28]J. C. R. Hunt, A. A. Wray, P. Moin, *Eddies, stream, and convergence zones in turbulent flows*, report ctr-s88. Center for Turbulence Research, pp. 193–208, 1988.

[29]J. Zhou, R. J. Adrian, S. Balachandar, T. M. Kendall, Mechanism for generating coherent packets of hairpin vortices in channel flow, *Journal of Fluid Mechanics*, Vol. 387, No. 1, pp. 353–396, 1999.

میدان سرعت لحظه‌ای ( $\text{ms}^{-1}$ )	$U$
سرعت در راستای جریان ( $\text{ms}^{-1}$ )	$U_Z$
سرعت عمودی ( $\text{ms}^{-1}$ )	$U_y$
میدان سرعت فیلتر شده مکانی ( $\text{ms}^{-1}$ )	$\bar{U}$
میدان سرعت متوسط‌گیری شده زمانی ( $\text{ms}^{-1}$ )	$\langle U \rangle$
میدان سرعت پسماند ( $\text{ms}^{-1}$ )	$u'$
میدان سرعت نوسانی ( $\text{ms}^{-1}$ )	$u$
ضرب سرعت‌های فیلتر شده ( $\text{m}^2\text{s}^{-2}$ )	$\bar{U}_i \bar{U}_j$
ضرب فیلتر شده سرعت ( $\text{m}^2\text{s}^{-2}$ )	$\overline{U_i U_j}$
تانسور تنش رینولدز ( $\text{m}^2\text{s}^{-2}$ )	$\langle u_i u_j \rangle$
سرعت نسبی ( $\text{ms}^{-1}$ )	$\vec{v}_r$
نسبت سرعت نوک پره	$TSR$
علائم یونانی	
$\delta_{ij}$	تابع کرانکر دلتا
$\Delta$	عرض فیلتر ( $\text{m}$ )
$\lambda_{ci}$	قدرت چرخش
$v_r$	ویسکوزیته گردابه‌ای ( $\text{m}^2\text{s}^{-1}$ )
$\ell_s$	مقیاس طولی اسماگورینسکی ( $\text{m}$ )
$\rho$	چگالی ( $\text{kgm}^{-3}$ )
$\tau_{ij}^r$	تانسور تنش پسماند ایزوتروپیک ( $\text{m}^2\text{s}^{-2}$ )
$\tau_{ij}^R$	تانسور تنش پسماند غیر ایزوتروپیک ( $\text{m}^2\text{s}^{-2}$ )
$\omega$	سرعت دورانی ( $\text{s}^{-1}$ )

مراجع

- [1] D. Chen, W. Zhang, Exploitation and research on wind energy, *Energy Conservation Technology*, Vol. 4, No. 1, pp. 339–343, 2007.
  - [2] Y. Li, K. J. Paik, T. Xing, P. M. Carrica, Dynamic overset CFD simulations of wind turbine aerodynamics, *Renewable Energy*, Vol. 37, No. 1, pp. 285–298, 2012.
  - [3] I. Grant, P. Parkin, X. Wang, Optical vortex tracking studies of a horizontal axis wind turbine in yaw using laser-sheet, flow visualisation, *Experiments in Fluids*, Vol. 23, No. 6, pp. 513–519, 1997.
  - [4] L. J. Vermeer, J. N. Sørensen, A. Crespo, Wind turbine wake aerodynamics, *Progress in Aerospace Sciences*, Vol. 39, No. 6–7, pp. 467–510, 2003.
  - [5] F. Massouh I. Dobrev, Exploration of the vortex wake behind of wind turbine rotor, *J Journal of Physics: Conference Series*, Vol. 75, p. 012036, 2007.
  - [6] W. Zhang, C. D. Markfort, F. Porté-Agel, Near-wake flow structure downwind of a wind turbine in a turbulent boundary layer, *Experiments in Fluids*, Vol. 52, No. 5, pp. 1219–1235, 2012.
  - [7] J. O. Mo, A. Choudhry, M. Arjomandi, R. Kelso, Y. H. Lee, Effects of wind speed changes on wake instability of a wind turbine in a virtual wind tunnel using large eddy simulation, *Journal of Wind Engineering and Industrial Aerodynamics*, Vol. 117, pp. 38–56, 2013.
  - [8] F. Porté-Agel, Y.-T. Wu, H. Lu, R. J. Conzemius, Large-eddy simulation of atmospheric boundary layer flow through wind turbines and wind farms, *Journal of Wind Engineering and Industrial Aerodynamics*, Vol. 99, No. 4, pp. 154–168, 2011.
  - [9] R. J. A. M. Stevens, D. F. Gayme, C. Meneveau, Large eddy